

УДК 539.3

© 1998 г. ПРЯХИНА О.Д., ФРЕЙГЕЙТ М.Р.

### СВЯЗАННАЯ НЕСТАЦИОНАРНАЯ ЗАДАЧА О ВОЗБУЖДЕНИИ ЭЛЕКТРОУПРУГОГО СЛОЯ МАССИВНЫМ ЭЛЕКТРОДОМ

Исследование динамических процессов в задачах электроупругости проводилось в предположении, что все характеристики изменяются во времени по гармоническому закону. Решению задач в нестационарной постановке, несмотря на их актуальность, посвящены единичные публикации, при этом масса электрода не учитывалась, а воздействие на среду осуществлялось либо механическим, либо электрическим путем.

В публикуемой работе рассматривается связанная нестационарная задача о возбуждении одиночным электродом электроупругого слоя, занимающего область  $-h \leq z \leq h$ ,  $-\infty < x$ ,  $y < \infty$ . Предполагается, что слой жестко сцеплен с недеформируемым основанием, а контакт электрода со средой осуществляется без трения. В качестве электроупругих материалов рассматриваются ZX-срезы пьезокристаллов класса бттм гексагональной сингонии и пьезо-керамика, поляризованная по оси Z. Главная ось симметрии кристалла Z совпадает с нормалью к поверхности z, движение происходит в плоскости  $xoz$ . Электрод моделируется массивным полосовым штампом ширины  $2a$ , на который действует изменяющаяся во времени  $t$  вертикальная механическая нагрузка  $P(t)$ . Электрическое возбуждение осуществляется током заданной величины  $I(t)$ . Вне области контакта электрода со средой поверхность свободна от электрических и механических нагрузок. В начальный момент времени система находится в покое.

Построено решение задачи и изучено влияние электроупругих свойств материалов, типа нестационарного электрического и механического воздействия на смещения электрода, потенциал, а также на усилия, возникающие в области контакта и полный заряд на поверхности электрода.

В плоской постановке горизонтальные и вертикальные смещения электроупругой среды  $u$ ,  $w$  и потенциал  $\psi$ , вызываемые нагружением  $\tau$ ,  $q$  и индукцией  $d$ , заданных на поверхности среды, определяются в преобразованиях Фурье – Лапласа в виде

$$w(x, z, p) = \frac{1}{2\pi} \int_{-\infty}^{\infty} K(\alpha, z, p) Q(\alpha, p) e^{-i\alpha x} d\alpha \quad (1)$$

$$Q(\alpha, p) = \int_{-\infty}^{\infty} q(x, p) e^{i\alpha x} dx, \quad w = \{u, w, \psi\}, \quad q = \{\tau, q, d\}$$

Эти представления строятся методом интегральных преобразований из дифференциальных уравнений электроупругости (в квазистатическом приближении) [1]. Подынтегральная матрица – функция  $K(\alpha, z, p) = \|K_{ij}\|_{i,j=1}^3$  определяется типом среды.

В случае трехмерной постановки матрица  $K$  (размера  $4 \times 4$ ) для электроупругой среды класса бттм гексагональной сингонии получена в [1] и имеет структуру

$$K(\alpha, z, p) = B_+(z) - B_-(z) B_-^{-1}(-h) B_+(-h) = \begin{vmatrix} K_{11} & i\alpha K_{12} & i\alpha K_{13} \\ -i\alpha K_{21} & K_{22} & K_{23} \\ -i\alpha K_{31} & K_{32} & K_{33} \end{vmatrix}$$

Матрицы  $\mathbf{B}_{\pm}(z)$  размера  $3 \times 3$  двумерной задачи имеют вид

$$\mathbf{B}_{\pm}(z) = \begin{vmatrix} \alpha^2 m_1^{\pm} & \pm i \alpha m_2^{\pm} & \pm i \alpha m_3^{\pm} \\ -i \alpha k_1^{\pm} & \pm k_2^{\pm} & \pm k_3^{\pm} \\ -i \alpha r_1^{\pm} & \pm r_2^{\pm} & \pm r_3^{\pm} \end{vmatrix}$$

$$m_i^{\pm} = M_i^{-} \pm M_i^{+}, \quad k_i^{\pm} = K_i^{-} \pm K_i^{+}, \quad r_i^{\pm} = R_i^{-} \pm R_i^{+}$$

Вид функций  $M_i^{\pm}, K_i^{\pm}, R_i^{\pm}$  приведен в [1].

Отметим, что функции  $K_{ij}$  представляют собой аналитические функции, за исключением одних и тех же для всех функций полюсов, действительные на вещественной оси  $\alpha$  и четные по  $\alpha$ .

Матрица  $\mathbf{K}(\alpha, z, p)$  имеет следующее асимптотическое поведение  $\mathbf{K}(\alpha, z, p)|_{\alpha \rightarrow \infty} \sim \sim \mathbf{B}_{\pm}(z)$  при  $|\alpha| \rightarrow \infty$ . Последнее следует из свойств матриц  $\mathbf{B}_{\pm}(\mp h)$ . В частности при  $z = h$ :

$$\mathbf{B}_{+}(h) \sim \begin{vmatrix} \frac{a_{11}}{|\alpha|} & i \frac{a_{12}}{\alpha} & i \frac{a_{13}}{\alpha} \\ -i \frac{a_{12}}{\alpha} & \frac{a_{22}}{|\alpha|} & \frac{a_{23}}{|\alpha|} \\ -i \frac{a_{13}}{\alpha} & \frac{a_{23}}{|\alpha|} & \frac{a_{33}}{|\alpha|} \end{vmatrix} \quad (2)$$

где элементы  $a_{ij}$  получены в [1].

Пусть на поверхности среды заданы смешанные граничные условия

$$z = h: \quad w = u_0(p), \quad \psi = \psi_0(p), \quad |x| \leq a$$

$$q(x, p) = 0, \quad d(x, p) = 0, \quad |x| > a$$

$$\tau(x, p) = 0, \quad -\infty < x < \infty$$

$$z = -h: \quad u = w = \psi = 0, \quad -\infty < x < \infty$$

В этом случае из (1) получим систему интегральных уравнений контактной задачи

$$\mathbf{K}q = \int_{-a}^a \mathbf{k}(x - \xi, p) \mathbf{q}(\xi, p) d\xi = \mathbf{w}(p), \quad \mathbf{k}(x) = \frac{1}{2\pi} \int_{\sigma} \mathbf{K}(\alpha, p) e^{-i\alpha x} d\alpha \quad (3)$$

относительно неизвестного вектора  $q = \{q, d\}$ :

$$w = \{u_0, \psi_0\}, \quad \mathbf{K} = \|K_{ij}\|_{i,j=2}^3, \quad K_{23} = K_{32}, \quad K(\alpha, h, p) \equiv K(\alpha, p) \equiv K(\alpha)$$

В случае введения в среду вязкости контур интегрирования  $\sigma$  совпадает с вещественной осью, в противном случае выбор контура диктуется условиями излучения на бесконечности [2].

Рассмотрим различные случаи электромеханического нагружения электрода:

(а) пусть на электрод массы  $m$  действует вертикальная механическая нагрузка  $P(t)$ .

Тогда смещения электрода определяются из уравнения

$$mp^2 u_0 = P(p) - Q(p), \quad Q = \int_{-a}^a q(x) dx \quad (4)$$

где  $Q$  – реакция основания.

Если электрод запитывается током известной величины  $I(t)$ , то неизвестное значение потенциала  $\psi_0$  определяется из условия [3]:

$$-pD = I(p), \quad D = - \int_{-a}^a d(x) dx \quad (5)$$

где  $D$  – полный заряд на поверхности электрода.

Если к электроду не подводится и с него не снимается электрическая энергия, то значение  $\Psi_0$  определяется из условия сохранения заряда  $I = -pD = 0$ .

Обозначим через  $\mathbf{q}^k \{q^k, d^k\}$  ( $k = 1, 2$ ) решения системы интегральных уравнений вида (3):

$$\mathbf{K}\mathbf{q}^1 = \begin{bmatrix} 1 \\ 0 \end{bmatrix}, \quad \mathbf{K}\mathbf{q}^2 = \begin{bmatrix} 0 \\ 1 \end{bmatrix}$$

Тогда в силу линейной постановки задачи

$$Q = u_0 Q^1 + \Psi_0 Q^2, \quad D = u_0 D^1 + \Psi_0 D^2, \quad Q^k = \int_{-a}^a \mathbf{q}^k(x) dx \quad (k=1,2) \quad (6)$$

и уравнения (4), (5) запишутся в виде

$$mp^2 u_0 = P - u_0 Q^1 - \Psi_0 Q^2, \quad -p(u_0 D^1 + \Psi_0 D^2) = I$$

Отсюда

$$u_0 = \frac{1}{\Delta} (-pD^2 P - Q^2 I), \quad \Psi_0 = \frac{1}{\Delta} [I(Q^1 + mp^2) + pD^1 P]$$

$$\Delta = -p[D^2(Q^1 + mp^2) - D^1 Q^2] \quad (7)$$

(b) пусть задана механическая нагрузка  $P(t)$  и электрод возбуждается электрическим полем. Тогда потенциал считается известной величиной  $\Psi = \Psi_0(t)$  и решение задачи запишется

$$u_0 = (P - \Psi_0 Q^2) / (Q^1 + mp^2)$$

(c) пусть заданы ток  $I(t)$  и смещения электрода  $u = u_0(t)$ , тогда имеем

$$\Psi_0 = (I + u_0 D^1 p) / (-pD^2)$$

Решение системы (3) с символом ядра  $\mathbf{K}$ , имеющим на бесконечности представление вида (2) строится методом фиктивного поглощения в [4] для правой части вида  $\mathbf{A}e^{-i\eta x}$ ,  $\mathbf{A} = \{A_1, A_2\}$ . Решение системы интегральных уравнений (3) для правой части  $\mathbf{A} \cos(\eta x)$  в преобразованиях Фурье – Лапласа имеет вид

$$\mathbf{Q}_\eta(\alpha, p) = \frac{\mathbf{K}^{-1}(\alpha)}{2\sqrt{\alpha^2 + B^2}} \left\{ \mathbf{A}f_3(\alpha, \eta) - \mathbf{S}_0 \sum_{k=1}^n [\mathbf{f}_1(\alpha, x_k) + \mathbf{f}_1(\alpha, -x_k)] \mathbf{C}_k \right\} \quad (8)$$

Неизвестные компоненты вектора  $\mathbf{C}_k = \{C_k^1, C_k^2\}$  находятся из системы  $n$  алгебраических уравнений

$$\sum_{k=1}^n [\mathbf{f}_1(\alpha, x_k) + \mathbf{f}_1(\alpha, -x_k)] \mathbf{C}_k = \mathbf{S}_0^{-1} \mathbf{A}f_3(\alpha, \eta), \quad \alpha = +\zeta_l \quad (l=1, 2, \dots, n)$$

$$\mathbf{f}_1(\alpha, x) = \sqrt{B+i\alpha} e^{i\alpha x} \mathbf{F}(\alpha, x) + \sqrt{B-i\alpha} e^{-i\alpha x} \mathbf{F}(-\alpha, -x)$$

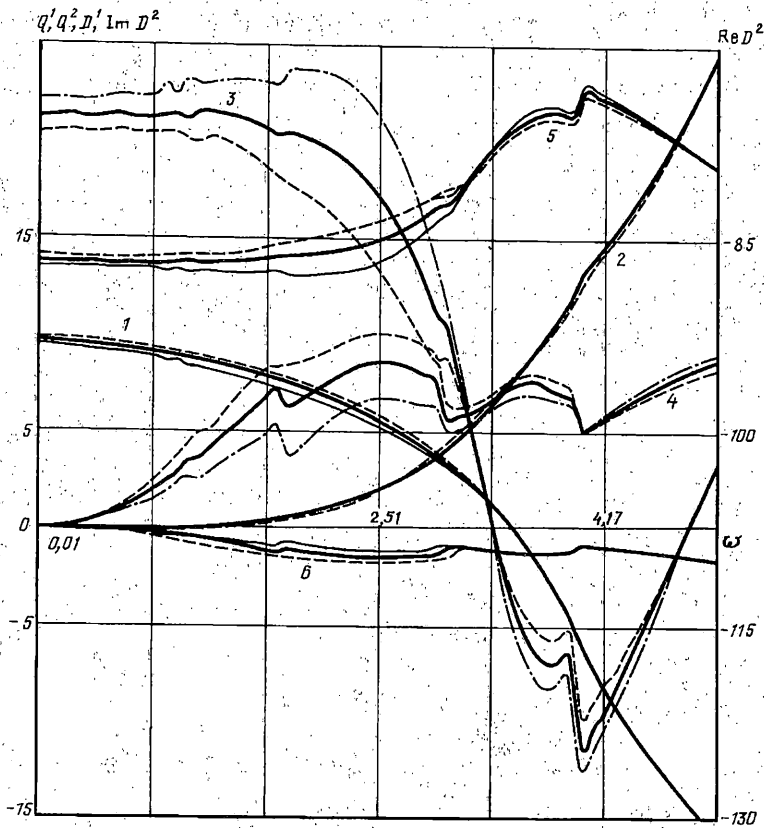
$$f_2(\alpha, \eta) = \frac{e^{i(\alpha-\eta)a}}{i(\alpha-\eta)} [\sqrt{(B+i\alpha)(B-i\eta)} \operatorname{erf} \sqrt{2a(B+i\alpha)} + \sqrt{B^2 + \eta^2} (\operatorname{erf} \sqrt{2a(B-i\eta)} - 1)]$$

$$f_3(\alpha, \eta) = f_2(\alpha, \eta) + f_2(-\alpha, -\eta) + f_2(\alpha, -\eta) + f_2(-\alpha, \eta)$$

$$\mathbf{F}(a, x) = \sum_{j=1}^n \operatorname{Res}_{\alpha=p_j} \mathbf{\Pi}(\alpha) \frac{e^{ip_j(a-x)}}{(p_j + \alpha)\sqrt{B-ip_j}}$$

$$\mathbf{\Pi}(\alpha) = \mathbf{S}_0^{-1} \mathbf{K}(\alpha) \sqrt{\alpha^2 + B^2}, \quad \mathbf{S}_0(\alpha) = \begin{bmatrix} a_{22} & a_{23} \\ a_{23} & a_{33} \end{bmatrix}$$

где  $p_j$  – полюса прямой матрицы  $\mathbf{\Pi}(\alpha)$ ,  $\zeta_l$  – полюса обратной матрицы  $\mathbf{\Pi}^{-1}(\alpha)$ ,



Фиг. 1

расположенные выше контура  $\sigma$ ,  $x_k$  — точки, делящие интервал  $(0, a)$  на равные отрезки ( $j, l, k = 1, 2, \dots, n$ ).

Нетрудно убедиться в том, что функционалы  $Q^k$ , участвующие в решении (7) связаны с решением (8) соотношениями  $Q^1 = Q_\eta$  при  $\alpha = \eta = A_2 = 0, A_1 = 1$ ;  $Q^2 = Q_\eta$  при  $\alpha = \eta = A_1 = 0, A_2 = 1$ .

Для определения смещений точек среды и потенциала вне области контакта и на глубине следует воспользоваться интегральным представлением (1).

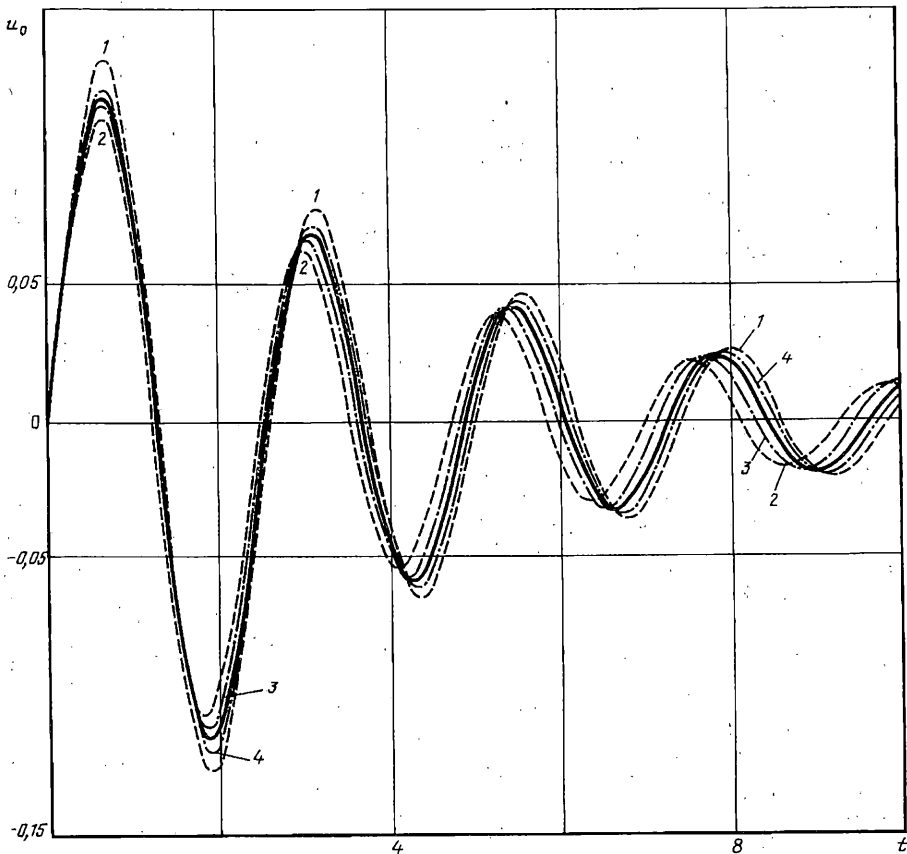
Согласно методу фиктивного поглощения [5] из (1) имеем

$$w(x, z, p) = -i \sum_{j=1}^n \operatorname{Res}_{\alpha=p_j} K(\alpha, z, p) \sum_{k=1}^n C_k [e^{ip_j(x-x_k)} + e^{ip_j(x+x_k)}], \quad x > a \quad (9)$$

Окончательное решение получим, применив обратное преобразование Лапласа к (6), (7), (9). Заменой  $p = -i\omega$  интеграл Лапласа [1] сводится к интегралу Фурье

$$F(t) = \frac{2}{\pi} \int_0^\infty \operatorname{Re} f(i\omega) \cos \omega t d\omega = -\frac{2}{\pi} \int_0^\infty \operatorname{Im} f(i\omega) \sin \omega t d\omega, \quad F(t) = \{u_0, \psi_0, Q, D, u, w, \psi\} \quad (10)$$

Численный анализ проводился для электроупругих материалов, представляющих собой ZX-срезы пьезокристаллов класса 6mm гексагональной сингонии и пьезокерамику, поляризованную по оси  $z$ . Исследовано влияние упругих  $c_{ij}$ , пьезоэлектрических  $e_{ij}$  и диэлектрических  $\epsilon_{ij}$  параметров слоя единичной толщины на функции  $Q^1, D^1, Q^2, D^2$ , определяющие реакцию основания  $Q$  и полный заряд  $D$  (6), а также на



Фиг. 2

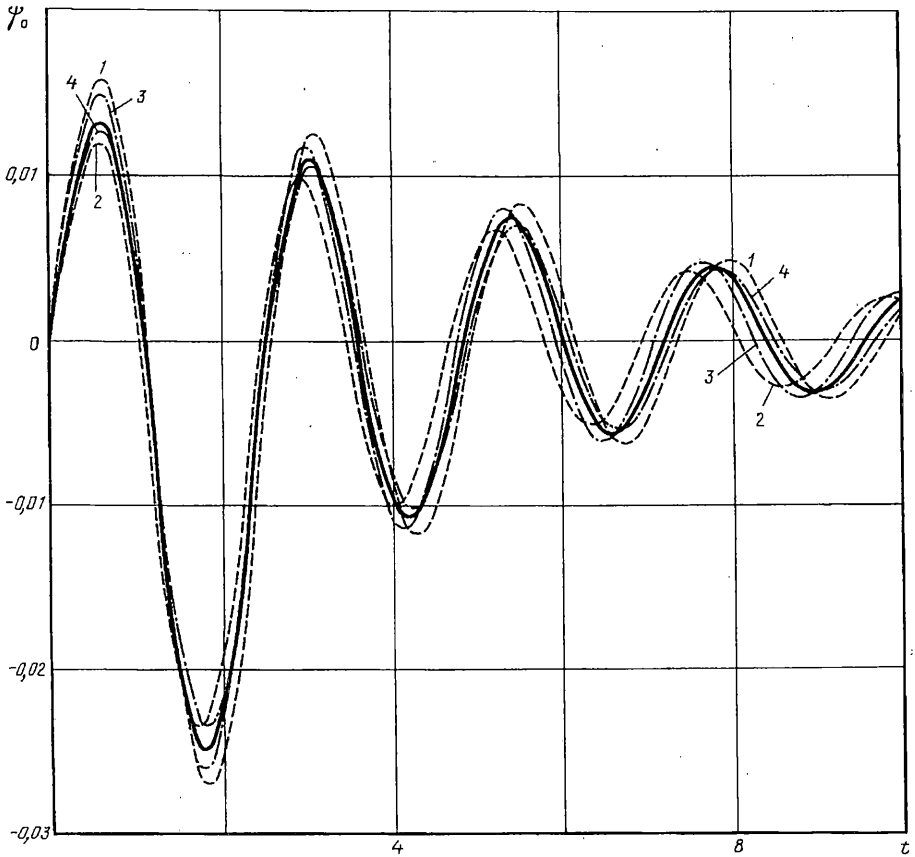
смещения электрода единичной массы  $u_0$  и потенциал  $\psi_0$  (7). Изучено поведение конкретных материалов под воздействием различных типов нестационарного электрического и механического возбуждения системы.

На фиг. 1 представлены графики функций  $Q^1, D^1, Q^2, D^2$  в зависимости от частоты  $\omega = ip$ . В качестве материала выбрана пьезокерамика ЦТС19 – сплошные линии. Кривые 1–6 соответствуют:  $\text{Re } Q^1, -\text{Im } Q^1, \text{Re } D^2, -\text{Im } D^2, \text{Re } D^1 = \text{Re } Q^2, -\text{Im } D^1 = -\text{Im } Q^2$ . Штриховые линии соответствуют уменьшенному значению коэффициента  $c_{13}$  на 10%, штрихпунктирные – увеличенному на 10%. Из представленных графиков хорошо видно влияние коэффициента  $c_{13}$  на различные характеристики системы.

Проведенные расчеты показали, что изменение коэффициента  $c_{33}$  на  $\pm 10\%$  наибольшее влияние оказывает на  $\text{Re } Q^1$  (кривые 1),  $e_{33}$  – на  $\text{Im } D^2$  (кривые 4),  $\epsilon_{33}$  – на  $\text{Re } D^2$  (кривые 3). Изменения остальных параметров  $c_{11}, e_{15}, \epsilon_{11}, e_{31}$  на  $\pm 10\%$  практически не сказываются на характере поведения функций  $Q^1, D^1, Q^2, D^2$ .

Численный анализ позволил установить следующую взаимосвязь между функциями  $Q^1, D^1, Q^2, D^2$ :  $\text{Re } D^2 = -c_1 \text{Re } D^1 - c_2, \text{Im } D^2 = -c_1 \text{Im } D^1, D^1 \equiv Q^2; c_{1,2} > 0$  – вещественные константы.

Фиг. 2, 3 иллюстрируют поведение системы: массивный электрод – пьезокерамический слой под воздействием механической нагрузки и тока  $I(t) = P(t) = 2e^{-2t} - e^{-t}$ . На фиг. 2 приведены смещения электрода, на фиг. 3 – потенциал. Сплошная линия

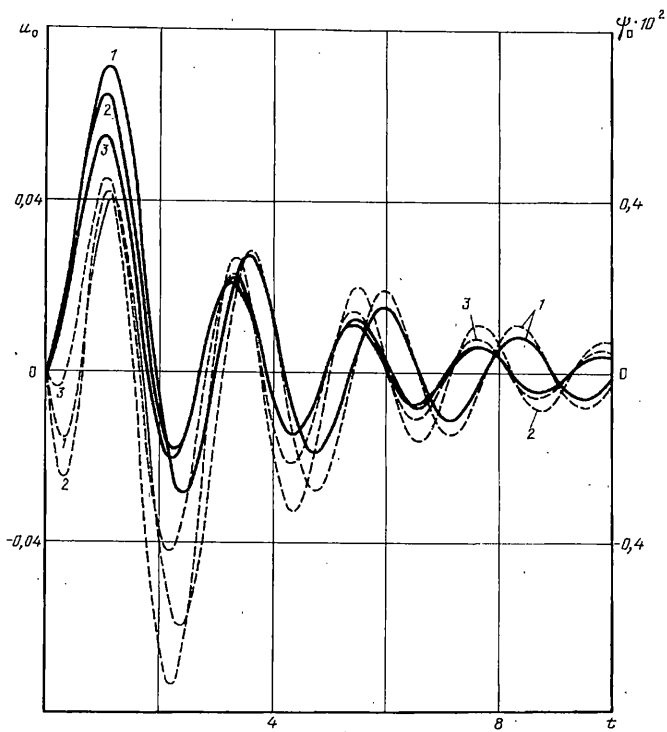


Фиг. 3

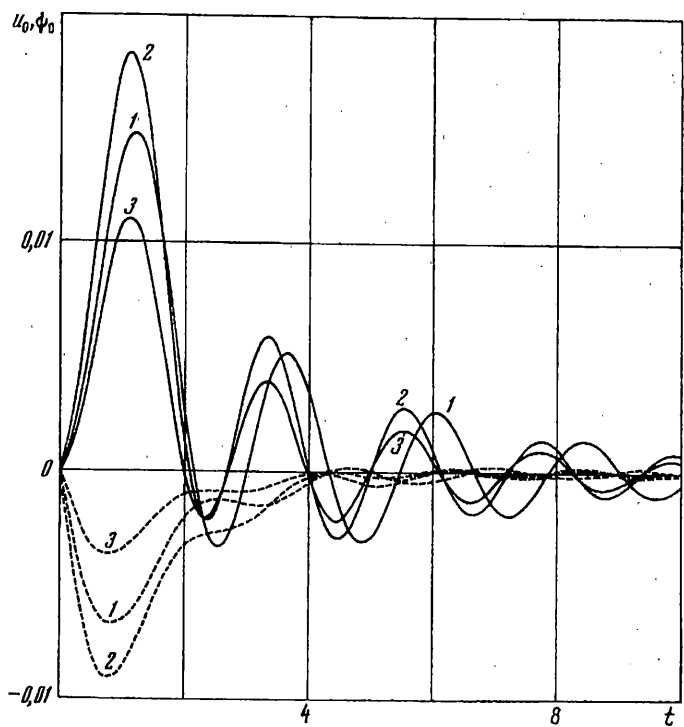
соответствует материалу ЦТС19. Кривые 1–4 соответствуют увеличению каждого из параметров  $c_{13}$ ,  $c_{33}$ ,  $e_{33}$ ,  $\epsilon_{33}$  на 10% соответственно. Очевидно, что увеличение  $c_{13}$  приводит к увеличению амплитуд смещений и потенциала, а также увеличению периода колебаний  $T$  системы после снятия нагрузки. Увеличение  $c_{33}$  уменьшает амплитуды  $u_0$ ,  $\psi_0$  и уменьшает  $T$ ; увеличение  $e_{33}$  уменьшает амплитуду  $u_0$  и увеличивает  $\psi_0$  при уменьшении периода  $T$ ; увеличение  $\epsilon_{33}$  увеличивает амплитуду  $u_0$  и период  $T$ , а амплитуду  $\psi_0$  — уменьшает. Установлено, что изменение остальных параметров  $c_{11}$ ,  $e_{15}$ ,  $e_{31}$ ,  $\epsilon_{11}$  практически не влияет на поведение системы.

На фиг. 4 приведены смещения электрода и потенциал для различных материалов при воздействии механической нагрузки вида  $P(t) = te^{-t}$  и тока  $I(t) = 2e^{-2t} - e^{-t}$ . Сплошные линии соответствуют  $u_0(t)$ , штриховые —  $\psi_0(t)$ . Кривые 1, 2, 3 соответствуют различным материалам: ЦТС19, PZT4 и PZT5H (табл.) Коэффициенты в табл. имеют следующие размерности:  $c_{ij}$  ( $i, j = 1, 2, \dots, 4$ ) — [Н/м<sup>2</sup>],  $e_{ij}$  ( $i = 1, 3, 3; j = 5, 1, 3$ ) — [К/м<sup>2</sup>],  $\epsilon_{ij}$  ( $i, j = 1, 3$ ) — [ $10^{-10}$  Ф/м]. Аналогичная задача приведена на фиг. 5 при  $P(t) = 0$ ,  $I(t) = 2e^{-2t} - e^{-t}$ . Очевидно, что для одинаковых материалов периоды колебаний  $u_0(t)$  и  $\psi_0(t)$  совпадают.

Численное обращение преобразования Лапласа проводилось на основе метода Филлона [6], что позволило избежать трудностей при расчете интегралов (10) от сильно осциллирующих функций. Интегрирование велось по действительной оси при  $\zeta = 0,2$  ( $\omega = ip e^{-i\zeta}$ ,  $\zeta$  — параметр вязкости среды [7]). Все величины на графиках приведены в безразмерном виде [1].



Фиг. 4



Фиг. 5

M	ЦТС19	PZT4	PZT5H
$c_{11}$	11,1	13,9	12,6
$c_{12}$	6,42	7,95	7,95
$c_{13}$	6,22	7,43	8,41
$c_{33}$	10,6	11,5	11,7
$c_{44}$	2,49	2,56	2,30
$e_{15}$	9,45	12,7	17,0
$e_{31}$	-3,4	-5,2	-6,5
$e_{33}$	15,1	15,1	23,3
$\epsilon_{11}$	72,57	64,6342	150,518
$\epsilon_{33}$	82,747	56,2229	130,1538

Авторы выражают благодарность И.И. Воровичу за внимание к работе и обсуждение результатов.

Работа выполнена при финансовой поддержке Российского фонда фундаментальных исследований (96-01-00362).

#### СПИСОК ЛИТЕРАТУРЫ

1. Ворович И.И., Пряхина О.Д., Тукодова О.М., Фрейгейт М.Р. Об одном подходе к решению динамических задач для слоистых электроупругих и анизотропных сред // ПММ. 1995. Т. 59. Вып. 4. С. 652–661.
2. Ворович И.И., Бабешко В.А. Динамические смешанные задачи теории упругости для неклассических областей. М.: Наука, 1979. 319 с.
3. Жарий О.Ю., Улитко А.Ф. Введение в механику нестационарных колебаний и волн. Киев: Вища шк., 1989. 184 с.
4. Пряхина О.Д., Тукодова О.М. Об одной плоской смешанной динамической задаче электроупругости // Изв. АН СССР. МТТ. 1990. № 1. С. 80–85.
5. Бабешко В.А. Обобщенный метод факторизации в пространственных динамических смешанных задачах теории упругости. М.: Наука, 1984. 253 с.
6. Сеймов В.М., Трофимчук А.Н., Савицкий О.А. Колебания и волны в слоистых средах. Киев: Наук. думка, 1990. 221 с.
7. Сорокин Е.С. К теории внутреннего трения при колебаниях упругих систем. М.: Госстройиздат, 1960. 131 с.

Ростов н/Д

Поступила в редакцию  
26.III.1996